

# Grafos e Árvores

## Alguns conceitos e representações

Prof. Leônidas de Oliveira Brandão  
Departamento de Ciência da Computação - IME - USP  
<http://www.ime.usp.br/~leo>

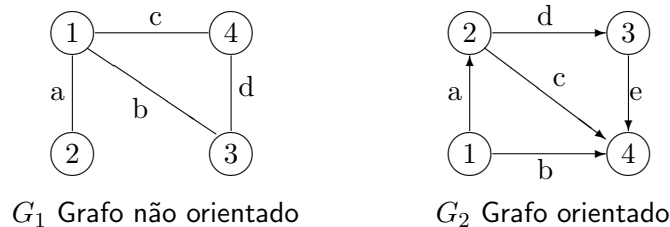
### 1.1 Grafos

$G = (AG, VG)$  AG= conjunto de arestas  
VG= conjunto de vértices (ou nós)

$(u, v) \in AG$  é uma aresta de  $G$  ligando  $u$  a  $v$  (ou  $v$  a  $u$ ).

Se existir ordem em AG, isto é,  $(u, v) \in AG \not\Rightarrow (v, u) \in AG$  o grafo é dito **orientado** ou **dirigido**.

- Representação gráfica



$AG_1 = (a,b,c,d)$   $a = (2, 1)$  ou  
 $VG_1 = (1, 2, 3, 4)$   $a = (1, 2)$

- Representação computacional

– Matriz de adjacência ( $VG \times VG$ )

$$\begin{matrix} & \begin{matrix} 1 & 2 & 3 & 4 \end{matrix} \\ \begin{matrix} 1 \\ 2 \\ 3 \\ 4 \end{matrix} & \begin{bmatrix} 0 & 1 & 1 & 1 \\ 1 & 0 & 0 & 0 \\ 1 & 0 & 0 & 1 \\ 1 & 0 & 1 & 0 \end{bmatrix} \end{matrix}$$

Matriz Adj. para  $G_1$

$$\begin{matrix} & \begin{matrix} 1 & 2 & 3 & 4 \end{matrix} \\ \begin{matrix} 1 \\ 2 \\ 3 \\ 4 \end{matrix} & \begin{bmatrix} 0 & 1 & 0 & 1 \\ 0 & 0 & 1 & 1 \\ 0 & 0 & 0 & 1 \\ 0 & 0 & 0 & 0 \end{bmatrix} \end{matrix}$$

Matriz Adj. para  $G_2$

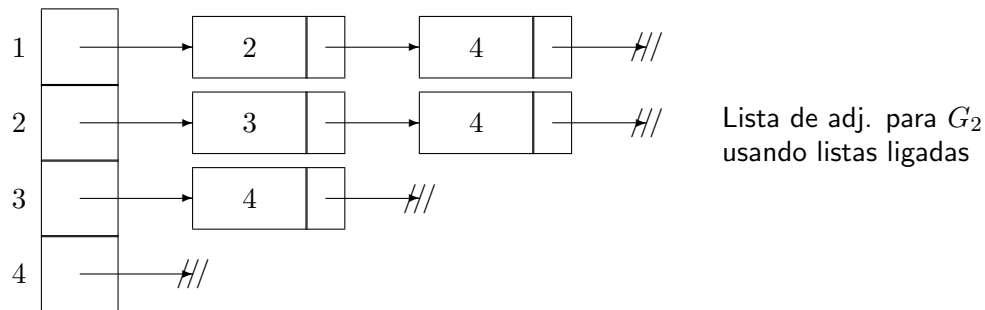
– Matriz de incidência

$$\begin{matrix} & \begin{matrix} a & b & c & d \end{matrix} \\ \begin{matrix} 1 \\ 2 \\ 3 \\ 4 \end{matrix} & \begin{bmatrix} 1 & 1 & 1 & 0 \\ 1 & 0 & 0 & 0 \\ 0 & 1 & 0 & 1 \\ 0 & 0 & 1 & 1 \end{bmatrix} \end{matrix}$$

$$\begin{matrix} & \begin{matrix} a & b & c & d & e \end{matrix} \\ \begin{matrix} 1 \\ 2 \\ 3 \\ 4 \end{matrix} & \begin{bmatrix} -1 & -1 & 0 & 0 & 0 \\ 1 & 0 & -1 & -1 & 0 \\ 0 & 0 & 0 & 1 & -1 \\ 0 & 1 & 1 & 0 & 1 \end{bmatrix} \end{matrix}$$

se  $(u,l)=-1$  e  $(v,l)=1$ , então  $l=(u,v)$

– Lista de adjacência



### 1.1.1 Conceitos básicos

**Subgrafo** Um subgrafo  $G'$  de um grafo  $G$  ( $G' \subseteq G$ ) é qualquer grafo tal que  $VG' \subseteq VG$ ,  $AG' \subseteq AG$  e  $(v, w) \in AG' \Rightarrow (v, w) \in VG' \times VG'$  (ou seja, é qualquer grafo definido a partir de vértices e arestas de  $G$ )

**Passeio** É qualquer sequência  $(s_0, s_1, \dots, s_k)$ , onde  $(s_i, s_{i+1}) \in AG, 0 \leq i < k$ . Dizemos que  $k$  é o tamanho do passeio.

**Caminho** É qualquer passeio no qual nenhum vértices ocorre mais que uma vez.

**Componente conexa** dado  $G' \subseteq G$ ,  $G'$  é componente conexa de  $G$  se

$$\forall (u, v) \in VG' \times VG'$$

existe algum caminho algum caminho  $v$  para  $u$ . Algumas vezes dizemos apenas *componente*.

Por exemplo, no grafo  $G_1$ , anterior, os sub-grafos formados pelos vértice  $\{1, 3, 4\}$  e  $\{1, 2\}$  (e as arestas entre eles em  $G$ ) são componentes.

Da definição podemos concluir que cada vértice, isoladamente, é uma componente.

**Grafo conexo**  $G$  é conexo se para todos  $u \in VG$  e  $v \in VG$  existe caminho de  $u$  a  $v$  (ou de  $v$  a  $u$ ).

Das duas últimas definições, segue que: se uma componente de um grafo  $G$  contém todos seus vértice, então  $G$  é conexo.

Para um grafo dirigido  $G$ , podemos falar em

**Ordenação Topológica** uma sequência de vértices  $(s_1, s_2, \dots, s_n)$  de  $G$ ,  $n = |VG|$ , é uma ordenação topológica de  $G$  se e só se  $\forall s_i$  e  $s_{i+k}$  ( $i \in \{1, 2, \dots, n\}$  e  $k \geq 0$ )  $\Rightarrow (s_{i+k}, s_i) \notin AG$ .

**Exemplo:** grafo definido pela dependência entre arquivos de programas,  $(s_i, s_j) \in AG \Leftrightarrow$  programa  $s_j$  depende do  $s_i$ , para se compilar é necessário seguir uma ordem topológica.

Um primeiro resultado sobre grafos, segue sem demonstração

**Teorema** Um grafo dirigido  $G$  admite ordenação topológica se, e somente se,  $G$  não contiver componentes conexas não triviais (um só vértice).

Um grafo que não contém componentes não triviais é dito **acíclico**, em caso contrário, **cíclico**.

Existem duas técnicas de busca em grafos:

- Busca em profundidade (“Depth First Search”)

```
DFS(w) /* busca em profundidade a partir do nó w */
    visitado(w) ← 1;
    para cada vertice  $v \in Adj(w)$ 
        se visitado(v)=0 então BFS(v)
/* aqui existe uma pilha implícita devido a recursão */
```

- Busca em Largura (“Breadth First Search”)

```
BFS(w) /* busca em largura a partir do nó w */
    visitado(w) ← 1;
    inicializa fila Q com w;
    enquanto verdade /* laço infinito */
        w ← retire último da fila Q;
        para cada vertice  $v \in Adj(w)$ 
            se visitado(v)=0 então Insere v em Q /* final da fila */
                visitado(v) ← 1;
        se fila Q vazia então retorne;
```

Outro conceito muito importante à várias aplicações que podem ser modeladas via grafos é o seguinte

**Grau** de um nó é o número de arestas incidentes ao nó.

**Exemplos** Denotamos por  $g_G(v)$  o grau do nó  $v$  no grafo  $G$ , em não havendo dúvidas a respeito de qual grafo se tratar, denotamos apenas por  $g(v)$ .

Em  $G_1$  :  $g_{G_1}(1) = 3$ ,  $g_{G_1}(2) = 1$ ,  $g_{G_1}(3) = 2$  e  $g_{G_1}(4) = 2$ .

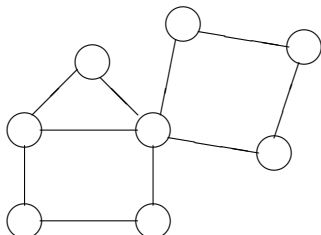
Em  $G_2$  :  $g_{G_2}(1) = 0$ ,  $g_{G_2}(2) = 1$ ,  $g_{G_2}(3) = 1$  e  $g_{G_2}(4) = 3$ .

**NOTA:** Para todo grafo  $G$ , vale a seguinte propriedade

$$\sum_{v \in VG} g(v) = 2 |AG|.$$

**Problema do Circuito Hamiltoniano:** dada uma representação gráfica de um grafo, determinar, se existir, um caminho que passe por todos os vértices, sem repetir vértice, começando e terminando no mesmo vértice (*ciclo euleriano*).

**Problema do Circuito Euleriano:** dada uma representação gráfica de um grafo, determinar, se existir, um caminho que passe por todas as arestas, sem repetir aresta, começando e terminando no mesmo vértice (*ciclo euleriano*).



Não existe ciclo  
euleriano para  
este grafo.

**Problema da Árvore Espalhada Mínima:** dado um grafo conexo  $G$ , com custos  $c(\cdot)$  nas arestas, encontrar uma **árvore espalhada**  $H$  ( $VH = VG$ ,  $H$  árvore e  $H$  conexa) de custo mínimo (i.é.,  $\forall \bar{H}$  árvore espalhada  $\Rightarrow c(\bar{H}) \geq c(H)$ ).

**Problema Código de Huffman:** dado um conjunto de letras  $\mathcal{L}$  e suas frequências ( $f(l_i), l_i \in \mathcal{L}$ ), encontrar uma árvore de codificação para  $\mathcal{L}$  de modo que

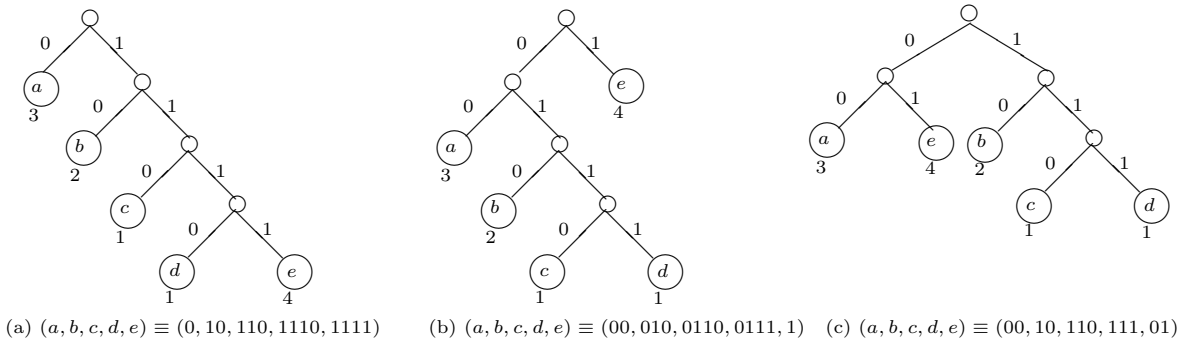
$$\sum_{l_i \in \mathcal{L}} f(l_i) \text{alt}(l_i)$$

seja mínimo.

Uma árvore de Huffman é qualquer codificação de caracteres como acima, servindo portanto para codificar textos sem que precisemos olhar as palavras formadas.

**Exemplo 1.1** Se os caracteres  $(a, b, c, d, e)$  aparecem em um texto com frequências  $(3, 2, 1, 1, 4)$ , podemos codificá-las de mais de uma maneira. Por exemplo, podemos usar o código:

- (a) com o código  $(0, 10, 110, 1110, 1111)$ , que precisa de  $1 \times 3 + 2 \times 2 + 3 \times 1 + 4 \times 1 + 4 \times 4 = 30$  bits.
- (b)  $(00, 010, 0110, 0111, 1)$ , que tem tamanho (custo)  $2 \times 3 + 3 \times 2 + 4 \times 1 + 4 \times 1 + 1 \times 4 = 24$  bits; ou ainda
- (c) com o código  $(00, 10, 110, 111, 01)$ , com  $2 \times 3 + 3 \times 2 + 4 \times 1 + 4 \times 1 + 1 \times 4 = 24$  bits;



Três possíveis árvores de Huffman para os caracteres  $(a, b, c, d, e)$ , sendo (b) e (c) ótimas.

Sendo,

- **árvore de codificação para  $\mathcal{L}$ :** uma árvore binária, cujas folhas representam as letras  $\mathcal{L}$  (p.e., se o caminho da raiz até a folha  $l_i$  for *esquerda, direita, direita, esquerda* e representarmos *esquerda* por 0 e *direita* por 1,  $l_i$  será codificada como 0110).
- $\text{alt}(l_i)$ : é altura, desde a raiz da árvore de codificação, da folha contendo a letra  $l_i$ .

**Algoritmo 1.1** Constrói a árvore de codificação de menor custo (código de Huffman)

*Huffman*( $L, f$ ) /\*  $L = (l_1, l_2, \dots, l_n)$ ,  $f(\cdot)$  função de frequências \*/  
var  $C, n\_conj$ ;  
inicio

```

1   $C := \text{monta\_conjunto}(L);$  // monta conjunto ordenando de modo crescente em relação às frequências
2   $n\_conj := \#L;$ 
3  enquanto (  $n\_conj > 0$  )
4       $u \leftarrow \text{menorValor}(C);$  //  $C \leftarrow C - u$ 
5       $v \leftarrow \text{menorValor}(C);$  //  $C \leftarrow C - v$ 
6       $w \leftarrow \text{novo\_no}( f(u) + f(v) );$ 
7       $w.no\_esq \leftarrow u;$ 
8       $w.no\_dir \leftarrow v;$ 
9       $\text{insereOrdenado}(C, w);$  // insere  $w$  em  $C$  de modo ordenado - pode ser “heap”
10      $n\_conj \leftarrow n\_conj - 1;$ 
final

```

**Prova** de que algoritmo de Huffman produz a árvore de codificação de menor custo (por contradição).

Vamos supor existir uma árvore  $\overline{H}$  diferente da de Huffman  $H$ , donde extrairemos uma contradição.

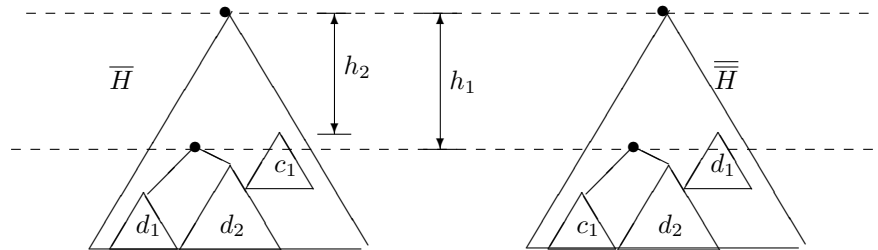
Assim, seja  $\overline{H}$  uma árvore estritamente melhor que a de Huffman. Se considerarmos uma ordem de junção que escolhe sempre as sub-árvores que ficarão mais profundas na árvore final, então cada árvore de código admite uma única sequência de construção (junções entre nós para formá-la, das folhas para a raiz, como os passos 7, 8 e 9), do mesmo modo que a árvore de Huffman também é única.

Consideraremos a sequência do algoritmo acima para montar a árvore de Huffman e uma sequência correspondente, juntando-se sempre que possível as sub-árvores de menor frequência (as primeiras escolhidas ficarão em níveis maiores da árvore final).

Deste modo, sejam  $(c_1, c_2)$  e  $(d_1, d_2)$ , respectivamente, as primeira junções de sub-árvores diferentes nas sequências de junções de Huffman e da  $\overline{H}$ . Por *diferente* devemos entender as sub-árvores com custo (ou frequências) diferentes, pois é isso que importa para definir custo final (i.é., se as letras  $l_i$  e  $l_j$  tiverem a mesma frequência, é indiferente ter uma árvores com estas letras em profundidades, respectivamente,  $h_i$  e  $h_j$  ou em profundidades  $h_j$  e  $h_i$ ).

Vamos agora definir uma árvore  $\overline{\overline{H}}$ , construída a partir de  $\overline{H}$ , trocando-se  $d_1$  por  $c_1$  (e vice-versa).

Sejam  $h_1$  e  $h_2$ , respectivamente, as alturas das sub-árvores  $(d_1, d_2)$  e  $c_1$  em  $\overline{H}$ . Portanto, a altura de  $c_1$  em  $\overline{\overline{H}}$  será  $h_1$  e a de  $(d_1, d_2)$  será  $h_2$ <sup>1</sup>.



Árvore  $\overline{H}$  com sua sub-árvore  $(d_1, d_2)$  de altura  $h_1$  e a subárvore substituta  $(c_1, d_2)$  de altura  $h_1$  em  $\overline{\overline{H}}$ .

<sup>1</sup>Como estamos supondo a sequência de construção de  $\overline{H}$  o mais parecida possível com  $H$ , e uma vez que, uma mesma sub-árvore  $c$  esteja presente no passo  $k$  de construção de  $H$  e  $\overline{H}$ , então sempre existirá um nó que tenha como filho  $c$  (e claro, ambas as árvores  $H$  e  $\overline{H}$  têm um nó cujo filho é a sub-árvore  $c$ ).

Como o algoritmo de Huffman não escolheu as sub-árvores  $d_1$  e  $d_2$ , escolhendo  $c_1$  e  $c_2$  segue que

$$\begin{aligned} \text{custo}(c_1) &< \text{custo}(d_1) \\ h_1 &> h_2. \end{aligned}$$

As últimas desigualdades (estritas) seguem da hipótese de  $\overline{\overline{H}}$  ser estritamente melhor que  $H$  (e termos pego uma ordem de construção que une primeiro as sub-árvores que ficarão mais profundas na árvore final).

Daí podemos concluir que o custo da árvore  $\overline{\overline{H}}$  é estritamente menor que o de  $\overline{H}$ , pois

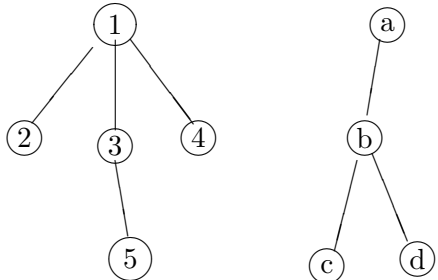
$$\begin{aligned} \text{custo}(\overline{\overline{H}}) &= \text{custo}(\overline{H}) + \text{custo}(c_1) + h_1 \sum_{i \in c_1} f_i + \text{custo}(d_1) + h_2 \sum_{i \in d_1} f_i \\ &\quad - (\text{custo}(d_1) + h_1 \sum_{i \in d_1} f_i) - (\text{custo}(c_1) + h_2 \sum_{i \in c_1} f_i) \\ &= \text{custo}(\overline{H}) + (h_1 - h_2)(\sum_{i \in c_1} f_i - \sum_{i \in d_1} f_i) \\ &< \text{custo}(\overline{H}). \end{aligned}$$

Portanto não pode existir uma árvore  $\overline{H}$  melhor que a  $H$  obtida pelo algoritmo de Huffman. ■

## 1.2 Árvores

Todo grafo acíclico é uma **árvore**. Podemos “olhar” uma árvore como sendo uma estrutura de hereditariedade, isto é, existe um primeiro nó que denominamos **raiz** e a cada nó da árvore podem “descender” filhos.

### Exemplos



Raiz de  $H_1$  é 1

de  $H_2$  é a

$H_2 \begin{cases} c \text{ e } d \text{ são } \textit{filhos} \text{ de } b \\ a \text{ é } \textit{pai} \text{ de } b \end{cases}$

Sobre as árvores  $H_1$   $H_2$ , temos os seguintes conceitos principais

**Nível** as duas árvores  $H_1$  e  $H_2$  têm 3 níveis, em  $H_1$  o primeiro nível é composto pelo nó {1}, o segundo por {2, 3, 4} e o terceiro por {5}.

**Profundidade** de um nó  $u$  é o comprimento do caminho da raiz até  $u$ .

Se  $u$  é raiz a profundidade de  $u$  é 1 (ou 0),

caso contrário é a profundidade do pai de  $u$  + 1 (note a recursão!).

**Folha** é um nó sem filhos.

**Altura** de um nó é o comprimento máximo do nó à uma folha. Por exemplo, em  $H_1$ :

$$\text{alt}(1)=2$$

$$\text{alt}(2)=0$$

$$\text{alt}(3)=1.$$

**Árvores binárias** são árvores onde cada nó tem no máximo dois filhos. Quando existir filho será diferenciado por esquerdo ou direito.

Podemos formalizar algumas destas definições, e consequências, de modo mais rigoroso através de recorrências. Para isso, vamos adotar a convenção matemática de que *somatório indexado por conjunto vazio resulta 0*, isto é,

$$\sum_{\alpha \in \emptyset} \Phi(\alpha) = 0.$$

Assim, dada uma árvore  $H$ :

**Número de nós de  $H$ :** se  $nn(v)$  é o número de nós a partir do nó  $v$ , então  $nn(v) = 1 + \sum_{w \in Adj(v)} nn(w)$ .

**Número de folhas em  $H$ :** se  $nf(v)$  é o número de folhas a partir do nó  $v$ , então  $nf(v) = \sum_{w \in Adj(v)} nf(w)$ .

**Altura de  $H$ :** se  $alt(v)$  é a altura do nó  $v$ , então  $alt(v) = 1 + \max \{ alt(filho\_esq(v), filho\_dir(v)) \}$ .

**Exercício 1.1** *Implemente em alguma linguagem de alto nível os três algoritmos acima, supondo dada a árvore.*

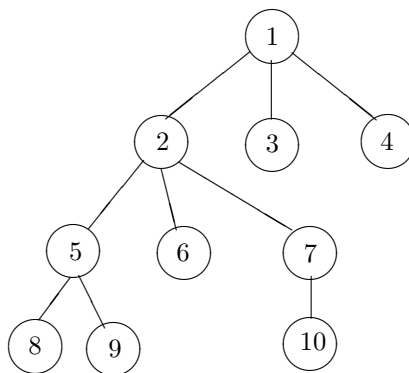
### 1.2.1 Representações de Árvores

#### ■ Utilizando listas

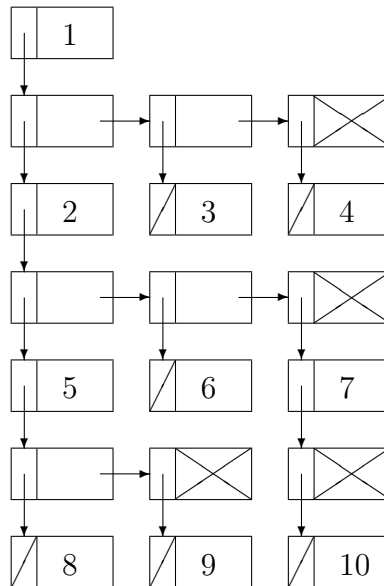
```
( 1 ( 2 ( 5 (8) (9) )
      ( 6 )
      ( 7 (10) )
    ) (3) (4)
)
```

Listas Generalizadas (LISP)

#### ■ Utilizando diagrama hierárquico

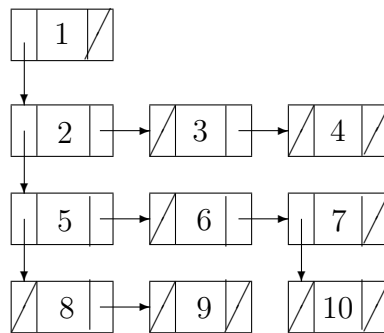


#### ■ Utilizando listas ligadas



Representação interna de árvores: usando listas ligadas com nós especiais para filhos

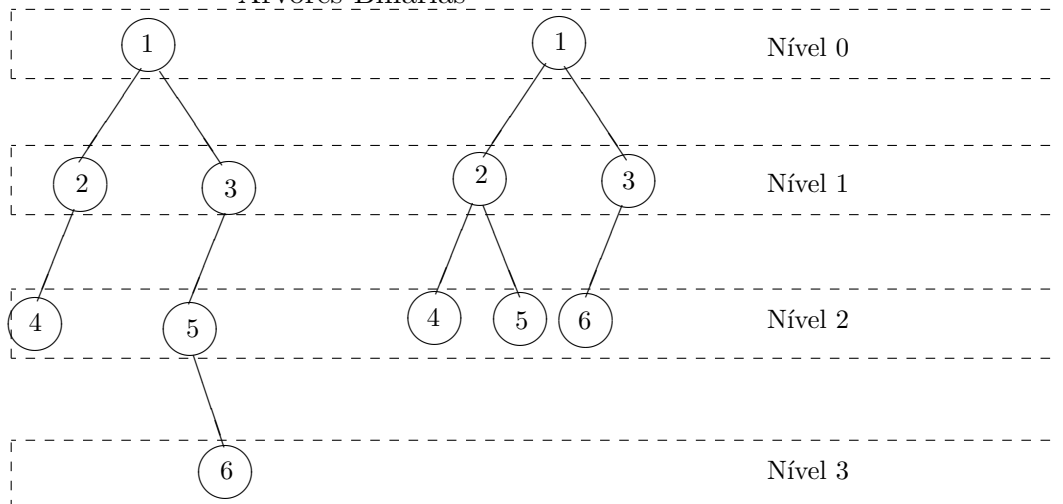
- Utilizando árvores binárias



Representação interna de árvores: usando listas ligadas com campos direito e esquerdo

■ Utilizando vetores, para os exemplos de árvore binárias abaixo

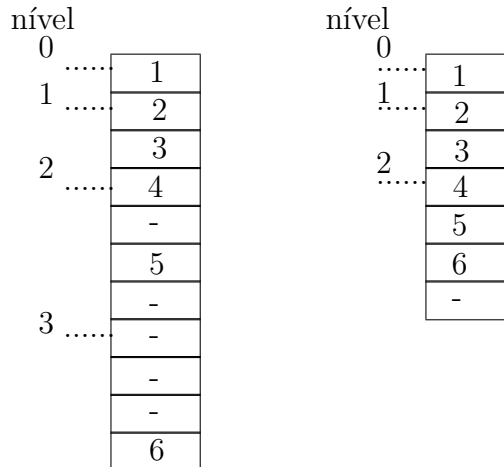
## Árvores Binárias



Também é possível adotar uma representação simples (e ineficiente se as árvore binária for esparsa), via vetores. Para isso usaremos o índice do vetor para indicar as relações de sucessão: a raiz tem o índice 0 e



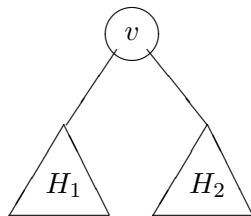
dado um nó de índice  $i$ , seus filhos terão índices  $2 * i + 1$  e  $2 * i + 2$ , ou seja, o filho esquerdo do  $i$  está no índice  $2 * i + 1$  e seu filho direito em  $2 * i + 2$ . Além disso será necessário reservar um símbolo para indicar nó vazio, como na figura abaixo. Esta é mesma estrutura adotada no algoritmo **Heap Sort**.



Representação interna das árvores binárias da figura anterior usando vetores

### 1.2.2 Alguns resultados sobre árvore binárias

Dizemos que uma árvore é **completamente balanceada** se para todo nó  $v$ ,  $|VH_e| = |VH_d|$ , sendo  $H_e$  é a sub-árvore esquerda de  $v$  e  $H_d$  a direita.



**Teorema  $H_1$ :** O número de nós em uma árvore completamente balanceada é  $2^{h+1} - 1$ , se  $h$  for a altura da árvore.

**Prova:** Por indução na altura  $h$  de da árvore.

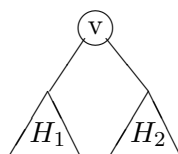
■ Base da indução

$h=1$ , então a árvore é trivial (um só nó) e portanto

$$1 = |VH| = 2^{0+1} - 1.$$

■ Passo da indução

Vamos supor que o teorema seja válido para alturas menores que  $h+1$ . Podemos decompor a árvore  $H$  como segue,



portanto, o número de nós de  $H$  é  $1 +$  a soma dos nós das sub-árvore esquerda e direita, nas quais podemos aplicar a hipótese de indução (pois, cada uma delas têm menos que  $h + 1$  nós), ou seja,

$$|VH| = |VH_e| + |VH_d| + 1 \stackrel{h.i.}{=} 2^h - 1 + 2^h - 1 + 1 = 2^{h+1} - 1.$$

■

**Teorema  $H_2$**  : Seja  $H$  uma árvore binária com  $n_i$  nós de grau  $i$  (claramente  $i \in \{0, 1, 2\}$ ), então  $n_0 = n_2 + 1$ .

**Prova:** Cada nó, exceto a raiz, é “final” de uma (e só uma) aresta (seu “superior hierárquico”), logo

$$|AH| = |VH| - 1 \text{ e } |AH| = n_1 + 2n_2.$$

Como  $|VH| = n_0 + n_1 + n_2$ , segue que

$$n_1 + 2n_2 = |VH| - 1 = n_0 + n_1 + n_2 - 1 \iff n_0 = n_2 + 1.$$

■

## Análise de complexidade para um algoritmo recursivo

Algoritmo recursivo para determinar máximo e mínimo numa lista

### Algoritmo 1.2

```

MaxMin(L,n) /* L=(l1, l2, ..., ln) */
var Max1, Max2, Min1, Min2, k;
inicio
    se n = 1 entao retorne (l1, l1)
    senao se n = 2 entao
        se l1 > l2 entao retorne (l1, l2)
        senao retorne (l2, l1)
    senao k ← ⌊n/2⌋;
        /* neste pto usa-se indução: supõe-se alg. funcionar p/ até ⌊n/2⌋ elementos */
        (Max1, Min1) ← MaxMin(l1, ..., lk, k);
        (Max2, Min1) ← MaxMin(lk+1, ..., ln, n - k);
        retorne (Maximo{Max1, Max2}, Minimo{Min1, Min2});
final

```

Complexidade do algoritmo:

Seja  $T(n)$  o número de comparações para listas com  $|L| = n$ . Para listas de tamanho 1 e 2 é trivial

$$T(1) = 0$$

$$T(2) = 1$$

Para  $n > 2$ , aplicamos um raciocínio indutivo

$$T(n) = T(\lfloor n/2 \rfloor) + T(n - \lfloor n/2 \rfloor) + 2 = T(\lfloor n/2 \rfloor) + T(\lceil n/2 \rceil) + 2$$

Para simplificarmos a contabilidade vamos admitir que  $n = 2^k$ ,

$$\begin{aligned}
T(n) &= 2T(n/2) + 2 = 2(2T(n/2^2) + 2) + 2 = \dots \\
&= 2^{k-1}T(2) + (2 + 2^2 + \dots + 2^{k-1}) = 2^{k-1} + 2^k - 2 = 2^{k-1}(3) - 2 \\
&= 3\frac{n}{2} - 2.
\end{aligned}$$

### 1.3 Passeios em árvores binárias

Podemos percorrer os nós de uma árvore binária de três formas diferentes: visitando um nó depois seu ramo esquerdo e por último seu ramo direito; visitando o ramo esquerdo de um nó, depois o nó e por último seu ramo direito; visitando o ramo esquerdo de um nó, depois seu ramo direito e por último o nó.

#### 1.3.1 Passeio “pré-ordem”

Seja  $T$  um árvore binária, o passeio “pré-ordem” de  $T$  pode ser feito da seguinte maneira:

1. inicia o passeio pela raiz da árvore,  $no \leftarrow \text{raiz}(T)$ ;
2. para todo  $no \in VT$ ,  $\text{visite}(no)$ ,  $\text{pre\_ordem}(no.\text{esq})$  e por último  $\text{pre\_ordem}(no.\text{dir})$ .

ou seja,

**Algoritmo 1.3** *Passeio “em pré ordem” (pré-ordem) em uma árvore de raiz no.*

*Pre\_ordem*(No no)

inicio

$\underline{\text{se}}$        $\text{no vazio}$  entao retorne ;  
 $\underline{\text{senao}}$     $\text{visite}(no)$ ;  
            $\text{Pre\_ordem}(no.\text{esq})$ ;  
            $\text{Pre\_ordem}(no.\text{dir})$ ;

final

#### 1.3.2 Passeio “in-ordem”

Seja  $T$  um árvore binária, o passeio “in-ordem” de  $T$  pode ser feito da seguinte maneira:

1. sendo  $no$  a raiz da árvore, comece com  $\text{in\_ordem}(no)$ ;
2. para todo  $no \in VT$ ,  $\text{in\_ordem}(no.\text{esq})$ ,  $\text{visite}(no)$  e por último  $\text{in\_ordem}(no.\text{dir})$ .

Refinando esta idéia podemos obter o seguinte algoritmo,

**Algoritmo 1.4** *Passeio “em ordem” (in-ordem) em uma árvore de raiz no.*

*Pre\_ordem*(*No no*)

inicio

se            *no* vazio entao retorne ;

senao    *In\_ordem*(*no.esq*);

*visite*(*no*);

*In\_ordem*(*no.dir*);

final

### 1.3.3 Passeio “pós-ordem”

Seja  $T$  um árvore binária, o passeio “pós-ordem” de  $T$  pode ser feito da seguinte maneira:

1. sendo  $no$  a raiz da árvore, comece com  $pos\_ordem(no)$ ;
2. para todo  $no \in VT$ ,  $pos\_ordem(no.esq)$ ,  $pos\_ordem(no.dir)$  e por último  $visite(no)$ ,

ou seja,

**Algoritmo 1.5** *Passeio “em pós ordem” (pós-ordem) em uma árvore de raiz no.*

*Pre\_ordem*(*No no*)

inicio

se            *no* vazio entao retorne ;

senao    *Pos\_ordem*(*no.esq*);

*Pos\_ordem*(*no.dir*);

*visite*(*no*);

final

### 1.3.4 Passeios em árvores e expressões aritméticas

Uma aplicação elementar de árvores binárias é na representação de expressões aritméticas. A forma mais usual de definirmos uma expressão aritmética é através de uma “regra de produção”, por exemplo,

$EXPR := NUMERO;$  (1)

$-EXPR;$  (2)

$(EXPR);$  (3)

$EXPR * EXPR;$  (4)

$EXPR / EXPR;$  (5)

$EXPR + EXPR;$  (6)

$EXPR - EXPR;$  (7)

e esta representação é naturalmente representada por uma árvore binária. Para isso basta convencionar que os átomos (itens sintáticos  $-$ ,  $+$ ,  $\dots$ , e os identificadores e constantes) sejam nós com filho esquerdo dado pelo termo à sua esquerda na definição e com filho direito dado pelo termos à sua direita (isso implica em apontador nula à esquerda do operador unário  $-$ ).

Notem que as “produções” (4) a (7) (e as demais com operadores binários) podem produzir ambiguidades, pois o que deve ser calculado antes, a expressão à esquerda do operador ou àquela à sua direita ?

Escolher fazer primeiro a esquerda ou a direita, pode implicar resultados direntes (como em  $2 + 3/4$  fazendo-se primeiro  $2 + 3$  ou primeiro  $3/4$ ). Em matemática eliminamos esta ambiguidade associando prioridades aos operadores ( $prior(-\text{unário}) > prior(*, /) > prior(+, -)$ ) e, quando houver empate calculamos da esquerda para direita (os operadores com mesma prioridade são associativos:  $a + (b - c) = (a + b) - c$  ou  $a * (b/c) = (a * b)/c$ ).

**Exemplo 1.2** Utilizando as regras matemáticas de prioridades entre operadores, as expressões aritméticas  $A + (2 + 3 * 4)/10$  e  $A + 2 + 3 * 4/10$  são representadas pelas árvores abaixo.

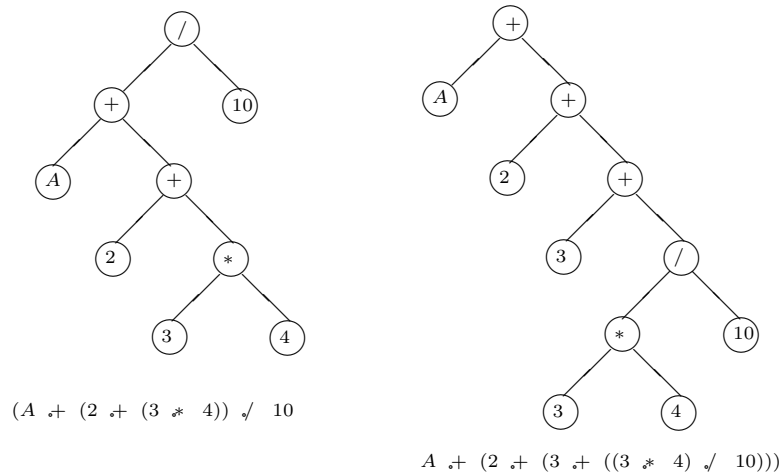


Figura 1.1: Árvores binárias de expressões ambíguas

**Propriedade 1.1** Sendo  $(i_1, i_2, \dots, i_k)$  e  $(p_1, p_2, \dots, p_k)$  permutações sobre os conjuntos  $(l_1, l_2, \dots, l_k)$ , então existe uma e só uma árvore binária  $T$  de tal forma que:

$$In\_ordem(T) = (i_1, i_2, \dots, i_k) \text{ e } Pre\_ordem(T) = (p_1, p_2, \dots, p_k).$$

**Propriedade 1.2** A propriedade 1.1 vale tomando-se qualquer combinação disjunta de passeios (in e pós, in e pré, pós e pré).

**Exemplo 1.3** Sendo  $I$  e  $P$  os passeios, respectivamente, in-ordem e pré-ordem obtido de uma dada árvore, reconstruir a mesma:

- (1)  $I = (2, 4, 1, 3, 5)$  e  $P = (1, 5, 3, 2, 4)$ ;
- (2)  $I = (2, 4, 5, 3, 1)$  e  $P = (1, 2, 3, 4, 5)$ ;
- (3)  $I = (1, 3, 5, 4, 2)$  e  $P = (1, 5, 3, 2, 4)$ .

### 1.3.5 Árvores costuradas

É possível implementar algoritmos não recursivo, e que não usem pilhas explícitas, para fazer passeios em árvores binárias. Nesta sub-seção consideraremos apenas o caso de passeio “em ordem”.

Num passeio “em ordem” a visita a um nó ( $visita(no)$ ) é feita após verificarmos toda sua sub-árvore esquerda e o último nó visitado (antes de  $no$ ), de  $no$ , não tem filho direito. Assim, podemos aproveitar os apontadores vazios para filhos direitos para “costurá-los” aos seus sucessores “em ordem”.

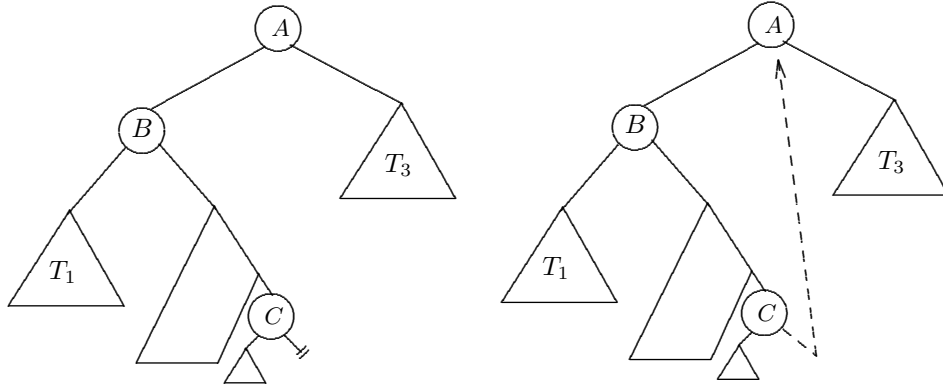


Figura 1.2: Árvores binária sem costura e com costura: nó A é sucessor “em ordem” de C

Usando esta idéia é necessário diferenciar um “legítimo” filho direito de uma costura, e para isso basta uma variável booleana. Um algoritmo de passeio “em ordem” em uma árvore costurada é apresentado a seguir.

**Algoritmo 1.6** *Passeio “em ordem” em uma árvore costurada de raiz no.*

*In\_ordem\_costurado(No no)*

inicio

enquanto  $no \neq \text{vazio}$

enquanto  $no.esq \neq \text{vazio}$

$no \leftarrow no.esq;$

$visita(no);$

enquanto  $no$  é costurado // percorre toda costura até um nó com legítimo filho direito

$no \leftarrow no.dir;$  // pega o sucessor do nó atual

$visita(no);$  // visita o sucessor do último nó costurado

$no \leftarrow no.dir;$  // pega o filho direito do nó atual e retorne ao “passo inicial”

final

### 1.3.6 Árvores de Busca Binária

Uma árvore binária é de busca, **árvore de busca binária (ABB)**, se cada nó tem uma **chave** (valor) associado e cada nó da mesma tem chave maior que a de todos os nós da sub-árvore esquerda e menor que a chave de todos os nós da sub-árvore direita.

$$T \text{ é ABB} \iff \forall no \in VT \Rightarrow \left\langle \begin{array}{l} chave(esq) < chave(no) < chave(dir), \\ \forall (esq, dir) \in subarvore(no.esq) \times subarvore(no.dir). \end{array} \right\rangle$$

**Propriedade 1.3** Se  $T$  é ABB e  $In\_ordem(T) = (i_1, i_2, \dots, i_k)$  é uma passeio “em ordem” de  $T$ , então  $chave(i_1) < chave(i_2) < \dots < chave(i_{k-1}) < chave(i_k)$ .

**Exemplo 1.4** Demonstre a propriedade acima.

**Algoritmo 1.7** Inserção de um elemento com a informação *info* numa árvore de busca binária.

```

InserereABB (No no, info) {
  se (no não vazio) {
    no = novo_no(info);
    retorne no;
  }
  atual := no;
  enquanto (atual não vazio) {
    enquanto (atual.esq não vazio) {
      ant := atual;
      se (info < info(atual)) {
        atual := atual.esq;
        eh_esq := verdadeiro;
      }
      senao
        se (info(atual) < info) entao
          atual := atual.dir;
          eh_esq := falso;
        senao
          retorne no; // info(atual)=info=>não insere
      }
    }
    se (eh_esq) // veio de um apontador esquerdo
      ant.esq := novo_no(info);
    senao
      ant.dir := novo_no(info);
    retorne no;
  }
}

```

*Versão iterativa*

```

InserereABB_Rec (No no, info) {
  if (no é vazio) retorne novo_no(info);
  if (info(no) < info)
    no.dir = InserereABB_Rec (no.dir, info);
  else if ( info < info(no) )
    no.esq = inserereABB_Rec(no.esq, info);
  retorne no;
}

```

*Versão recorrente*

**Algoritmo 1.8** Remoção de um elemento com a informação *info* numa árvore de busca binária.

```

RemoveABB (info) {
  atual := no;
  enquanto (atual != vazio) {
    se (info < info(atual) // pode estar na sub-árvore esquerda
      atual := atual.esq;
    senão
      se (info(atual) < info) // pode estar na sub-árvore direita
        atual := atual.dir;
      senão quebre_laço; // info(atual)=info => elimine "atual"
    }
  }
  se (atual != vazio) {
    (ant_menor, eh_esq) := achaMenor( atual.dir ); // acha o ant. à menor chave da sub-árvore direita
    if (eh_esq) {
      atual.info( info(ant_menor.esq) ); // pegue a info do nó à esquerda de ant_menor
      ant_menor.esq := (ant_menor.esq).dir; // eliminamos o apontador
    }
    else // cai aqui quando "atual" tem um só nó à direita (sub-árvore direita com um só nó)
      atual.info( info(ant_menor.dir) );
  }
  retorne no;
}

```

```

    }

```

Note que a linha `(ant_menor, eh_esq) := achaMenor( atual.dir );` poderia ser trocada pelo equivalente à esquerda, `(ant_maior, eh_dir) := achaMaior( atual.esq );`, procurando o nó com a maior chave na sub-árvore à esquerda (que só tem chaves menores que `info(atual)`).

Uma melhoria do algoritmo acima é manter na ABB as alturas de cada nó e escolhermos para substituir o nó a ser removido àquele pertencente a sub-árvore de maior altura (`achaMenor(atual.dir)` ou `achaMaior(atual.esq)`). Com isso, cada remoção melhora<sup>2</sup> o balanceamento da árvore resultante.

### 1.3.7 Árvores de Busca Binária AVL

Os dois algoritmos anteriores mantêm a árvore com a propriedade ABB, entretanto existe um terceiro algoritmo que muito provavelmente é utilizado um número de vezes maior que os anteriores, a **busca**. Durante um intervalo de tempo em que a árvore  $T$  não é alterada, se  $\mathcal{C}$  é o conjunto de chaves buscadas no período, sendo  $freq(c)$  e  $alt(c)$  ( $c \in \mathcal{C}$ ), respectivamente, o número de vezes que  $c$  foi procurado e a altura do nó  $c$  em  $T$ , então

o tempo de busca é proporcional a  $\sum_{c \in \mathcal{C}} alt(c) \times freq(c)$ .

Se não dispomos de informações a priori das buscas, podemos supor que cada chave é equiprovável (de ser buscada). Portanto, para reduzir o tempo de cada busca devemos minimizar as alturas dos nós na ABB, tanto quanto possível. Uma situação em que isso ocorre é quando a árvore é perfeitamente **balanceada**, ou seja, quando todos os nós num mesmo nível tiverem a mesma altura.

Entretanto é difícil manter uma árvore balanceada<sup>3</sup>, quer dizer, mantê-la de modo que todas as folhas estejam em no máximo dois diferentes níveis é computacionalmente caro (muda a complexidade dos algoritmos anteriores). Assim, devemos tentar manter a árvore “quase-balanceada” sem alterar a complexidade dos algoritmos de inserção e remoção anteriormente vistos.

Uma propriedade que atende este objetivos é o de **árvores AVL**: para cada nó da árvore, a diferença entre as alturas das sub-árvores esquerda e direita é de no máximo uma unidade.

Se no algoritmo 1.8 utilizarmos a heurística de escolher a sub-árvore de maior altura (`achaMenor(atual.dir)` ou `achaMaior(atual.esq)`), conseguiremos manter a estrutura de AVL nas remoções e não aumentaremos a complexidade computacional da remoção.

Já a inserção é mais complicada para ser implementada: após uma inserção devemos determinar o primeiro nó que teve a propriedade AVL estragada e trabalhar para recuperar a propriedade. Nesta tarefa de recuperação da estrutura AVL, podemos utilizar a propriedade de “associatividade” entres árvores de busca, como nas duas próximas propriedade.

**Definição 1** Se  $T_1$  e  $T_2$ , são árvores binárias representaremos por  $(T_1 \textcircled{A} T_2)$  a árvore binária com raiz  $A$ , tendo  $T_1$  como sub-árvore esquerda de  $A$  e  $T_2$  como sub-árvore direita.

Por analogia, denominaremos esta representação por “expressão aritmética da árvore”.

<sup>2</sup>Mais precisamente, “não piora”.

<sup>3</sup>Manter perfeitamente balanceada seria impossível, pois só poderíamos ter árvores com  $2^{n+1} - 1 = \sum_{i=0}^n 2^i$  nós, o que significa que as inserções e remoções precisariam ser sempre de  $2^n$  nós.



**Propriedade 1.4** Sendo  $T_1$  e  $T_2$  árvores de busca binárias e  $A$  uma chave tal que  $\text{chave}(e) < A < \text{chave}(d)$ ,  $\forall (e, d) \in T_1 \times T_2$ , segue que  $(T_1 \textcircled{A} T_2)$  é árvore de busca binária.

**Propriedade 1.5** Sendo  $T_1, T_2$  e  $T_3$  árvores de busca binárias e chaves  $A$  e  $B$  tais que  $\text{chave}(t_1) < A < \text{chave}(t_2) < B < \text{chave}(t_3)$ ,  $\forall (t_1, t_2, t_3) \in T_1 \times T_2 \times T_3$ , segue que

$$(T_1 \textcircled{A} T_2) \textcircled{B} T_3 \text{ e } T_1 \textcircled{A} (T_2 \textcircled{B} T_3) \text{ são árvores de busca binárias.}$$

Na figura a seguir representamos estas duas árvores.

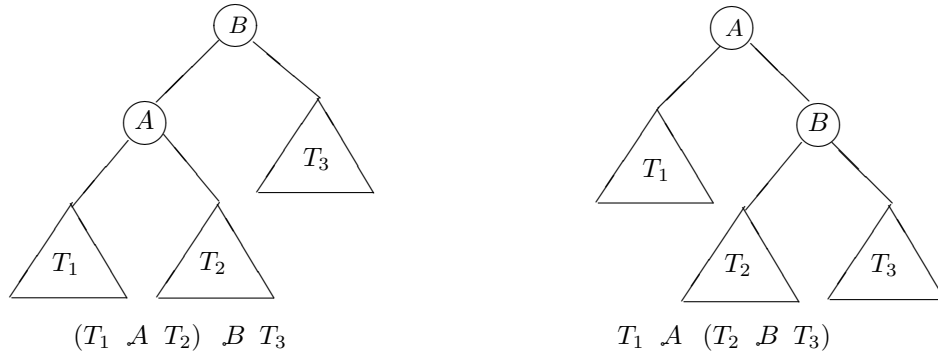


Figura 1.3: Representação das árvores AVL: rotação simples

Da representação acima podemos notar que a operação de mudança associativa pode produzir árvores de busca binárias com diferentes alturas, sendo que o número de parênteses na “expressão aritmética” da árvore define sua altura. Esta observação é essencial para operarmos eficientemente uma árvore de busca que deixou de ser AVL.

Existem dois tipo de mudanças associativas (na expressão da árvore) ou “rotações” (na representação gráfica) para recuperar a propriedade AVL:

1. Associação ou rotação simples:  $(T_1 \textcircled{A} T_2) \textcircled{B} T_3$  é AVL, mas a inserção em  $T_1$  destrói a propriedade.

Recuperação:  $T_1 \rightarrow \bar{T}_1$

$$(\bar{T}_1 \textcircled{A} T_2) \textcircled{B} T_3 \rightarrow \bar{T}_1 \textcircled{A} (T_2 \textcircled{B} T_3)$$

Vide figura anterior.

2. Associação ou rotação dupla:  $(T_1 \textcircled{A} T) \textcircled{B} T_4$  é AVL, mas a inserção em  $T$  destrói a propriedade.

Recuperação: Se tentar re-escrever a expressão da árvore com a representação nada conseguiremos, assim é necessário expandir a sub-árvore  $T = (T_2 \textcircled{A} T_3)$ . Agora é indiferente que a inserção ocorra em  $T_2$  ou em  $T_3$ , por isso re-escreveremos  $T_2, T_3$  por  $\bar{T}_2, \bar{T}_3$ , entendendo que apenas um deles de fato foi alterado.

$$(T_1 \textcircled{A} (\bar{T}_2 \textcircled{C} \bar{T}_3)) \textcircled{B} T_4 \rightarrow ((T_1 \textcircled{A} \bar{T}_2) \textcircled{C} \bar{T}_3) \textcircled{B} T_4 \rightarrow (T_1 \textcircled{A} \bar{T}_2) \textcircled{C} (\bar{T}_3 \textcircled{B} T_4)$$

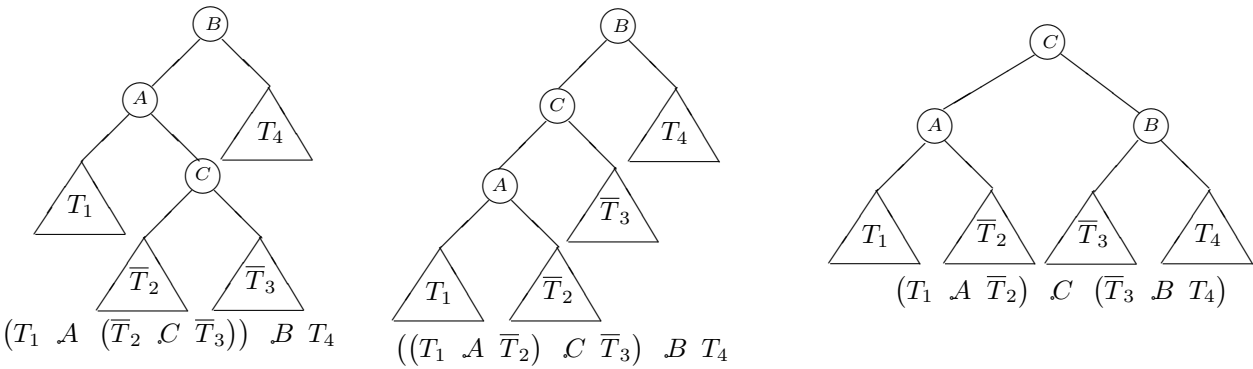


Figura 1.4: Representação das árvores AVL: dupla rotação